

INSTYTUT FIZYKI
UNIwersytet Śląski

NUMERYCZNA DYNAMIKA PŁYNÓW
SPRAWOZDANIE

NIESTABILNOŚĆ HELMHOLTZA

Imię i nazwisko osoby wykonującej ćwiczenie:
ANDRZEJ WIĘCKOWSKI

Rok studiów, kierunek:
III, FIZYKA TECHNICZNA (MISMP)

Adres e-mail:
AWIECKO@US.EDU.PL

Spis treści

1	Wstęp teoretyczny	2
1.1	Równanie Naviera Stokes’a	2
1.2	Metoda siatkowa Boltzmana	3
2	Opracowanie wyników	4
2.1	„Tutorial”	4
2.2	Zaburzenie w LBM	6
2.3	Niestabilność Helmholtza	8
3	Wnioski	16

1 Wstęp teoretyczny

1.1 Równanie Naviera Stokes'a

Równanie Naviera Stokes'a dla nieściśliwej cieczy opisanej wektorowym polem prędkości $\vec{v}(\vec{x})$ ma postać:

$$\underbrace{\frac{\partial \vec{v}}{\partial t}}_A + \underbrace{(\vec{v} \cdot \nabla) \vec{v}}_B = -\frac{1}{\rho} \nabla p + \underbrace{\nu \Delta \vec{v}}_C \quad (1)$$

gdzie:

- ρ – gęstość płynu;
- p – ciśnienie;
- ν – lepkość kinematyczna.

Dla cieczy nieściśliwej w każdej chwili czasu spełnione jest równanie na dywergencję pola \vec{v} :

$$\text{div} \vec{v} = 0$$

W konwencji sumacyjnej Einsteina dywergencję pola \vec{v} zapiszemy w postaci:

$$\text{div} \vec{v} = \frac{\partial v_i}{\partial x_i}$$

Policzmy teraz dywergencję z równania (1). Dywergencja jest liniowym operatorem różniczkowym, policzmy dywergencję pierwszego składnika: $\text{div} A$, gdzie zamieniono kolejność pochodnych:

$$\text{div} \frac{\partial \vec{v}}{\partial t} = \frac{\partial}{\partial x_i} \frac{\partial v_i}{\partial t} = \frac{\partial}{\partial t} \underbrace{\frac{\partial v_i}{\partial x_i}}_0 = 0$$

Policzmy teraz wyraz $\text{div} B$ korzystając z wzoru na iloczyn pochodnych $((fg))' = f'g + g'f$:

$$\text{div}[(\vec{v} \cdot \nabla) \vec{v}] = \frac{\partial}{\partial x_j} \left(v_i \frac{\partial v_j}{\partial x_i} \right) = \frac{\partial v_i}{\partial x_j} \frac{\partial v_j}{\partial x_i} + v_i \frac{\partial}{\partial x_i} \underbrace{\frac{\partial v_j}{\partial x_j}}_0 = \frac{\partial v_i}{\partial x_j} \frac{\partial v_j}{\partial x_i}$$

Policzmy teraz ostatni składnik $\text{div} C$:

$$\operatorname{div}(\nu \Delta \vec{v}) = \nu \frac{\partial}{\partial x_i} (\Delta \vec{v})_i = \nu \Delta \underbrace{\frac{\partial v_i}{\partial x_i}}_0 = 0$$

Ostatecznie otrzymaliśmy równanie:

$$\frac{\partial v_i}{\partial x_j} \frac{\partial v_j}{\partial x_i} = -\frac{1}{\rho} \nabla^2 p$$

$$\Delta p = -\rho \frac{\partial v_i}{\partial x_j} \frac{\partial v_j}{\partial x_i}$$

Otrzymane równanie to równanie Poissona. Dalej korzystając z tego równania można wyprowadzić schematy do numerycznego rozwiązywania równania Naviera-Sokesa.

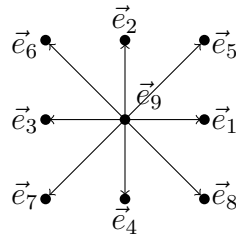
1.2 Metoda siatkowa Boltzmana

Współcześnie w komputerowej dynamice płynów (CFD) stosuje się raczej metody siatkowe. Metoda siatkowa Boltzmana (LBM), na której opierają się obliczenia w dalszej części pracy, zamiast rozwiązywać równanie Naviera-Stokesa to rozwiązywane jest dyskretne równanie transportu Boltzmana.

Równanie transportowe Boltzmana jest następujące:

$$\frac{\partial f}{\partial t} + \vec{u} \cdot \nabla f = \Omega$$

gdzie $f(\vec{x}, t)$ to dystrybucja cząstek, \vec{u} to prędkość cząstki, Ω operator kolizji. Metoda LBM upraszcza koncepcję Boltzmana redukując liczbę cząstek i ogarniczając je do węzłów siatki. Dla dwuwymiarowych modeli cząstka, a raczej węzeł sieci może „oddziaływać” w 9 kierunkach siatki. Taki model nazywany jest $D2Q9$ każdy węzeł zawiera 9 wektorów prędkości \vec{e}_i :



Rysunek 1: Schemat węzła sieci wraz z odpowiadającymi prędkościami prędkościami \vec{e}_i

2 Opracowanie wyników

2.1 „Tutorial”

W pierwszej części zadania przyswojono podstawowe informacje odnośnie pakietu **Sailfish**. **Sailfish** jest darmową biblioteką do obliczeń komputerowej dynamiki płynów bazująca na metodzie *siatek Boltzmann*. Pakiet został zoptymalizowany pod obliczenia równoległe – w szczególności pod obliczenia GPGPU.

Na początku nauczono się inicjalizować warunki początkowe symulacji oraz warunki brzegowe. Cały **Sailfish** został napisany wykorzystując klasy, szkielek najbardziej prostego programu jest następujący:

```
1 class MyBlock(Subdomain2D):
2
3     def boundary_conditions(self, hx, hy):
4
5     def initial_conditions(self, sim, hx, hy):
6
7 class MySim(LBFluidSim):
8
9     subdomain = MyBlock
10
11 LBSimulationController(MySim).run()
```

W funkcji `boundary_conditions` określa się warunki brzegowe. Na potrzeby ćwiczenia zbadano następujące sytuacje:



Na brzegach (grube linie) ustawiono warunek `NTFullBBWall`, a na górze i dole (strzałki) ustawiono stałą prędkość w kierunku x `NTEquilibriumVelocity`. Prędkości zarówno dla przypadku a) i b) powiększono o losową liczbę z przedziału $[0, 0.1)$. w celu zaburzenia symetrii. Początkową gęstość ρ ustalono na 1 w całej objętości cieczy, lepkość na 0.3. Obliczenia dokonywano na kwadratowej siatce 50×50 .

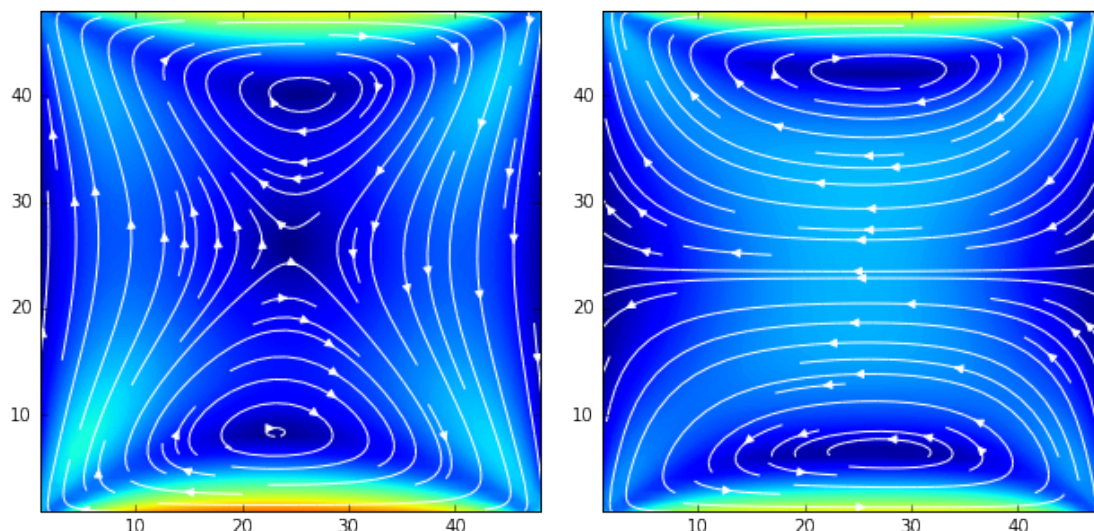
```

1 import numpy as np
2 import random as rnd
3 from sailfish.subdomain import Subdomain2D
4 from sailfish.node_type import NTFullBBWall, NTEquilibriumVelocity
5 from sailfish.controller import LBSimulationController
6 from sailfish.lb_single import LBFluidSim
7
8 class MyBlock(Subdomain2D):
9     max_v = 0.1
10    a = rnd.random() * 0.1
11    b = rnd.random() * 0.1
12
13    def boundary_conditions(self, hx, hy):
14        wall_map = (hx==0) | (hx==self.gx-1)
15        vel_up = (hy == self.gy-1) & (hx>0) & (hx<self.gx-1)
16        vel_down = (hy == 0) & (hx>0) & (hx<self.gx-1)
17        self.set_node( vel_up, NTEquilibriumVelocity(( self.max_v+
self.a, 0.0)) )
18        self.set_node( vel_down, NTEquilibriumVelocity((-self.max_v-
self.b, 0.0)) )
19        self.set_node(wall_map, NTFullBBWall)
20        np.savez("datasim/hx.npz", hx=hx, hy=hy)
21
22    def initial_conditions(self, sim, hx, hy):
23
24        sim.rho[:] = 1.0
25
26 class MySim(LBFluidSim):
27
28     subdomain = MyBlock
29
30 LBSimulationController(MySim).run()

```

Po wykonaniu symulacji zebrane dane przedstawiono na tak zwanym wykresie typu „stream plot”. Wykorzystano narzędzie, które rozwiązywało równania różniczkowe dla danych i tym sposobem wykreślano linie pola prędkości cieczy. Wykreślono zależność $v_x^2 + v_y^2$ w funkcji położenia x, y (gdzie prędkość dana jest poprzez wektor $\vec{v} = [v_x, v_y]$).

Poniżej zamieszczono odpowiednio otrzymane rozwiązania po 100 krokach symulacji dla obu przypadków warunków początkowych: a), b).



a)

b)

Dla przypadku a) uzyskane pole prędkości zorientowane jest raczej w kierunku pionowym y wyraźne są dwie struktury przypominające wiry. W przypadku b) struktura pola prędkości zorientowana jest raczej w kierunku poziomym, wyraźnie widać „podział wpływów” – prosta $y = 25$.

2.2 Zaburzenie w LBM

Bardziej jako ciekawostkę zamieszczono tutaj badanie zaburzenia w LBM – propagacja dźwięku. Zaburzenie wprowadza się poprzez zmianę gęstości jednego węzła jako warunek początkowy. Tak wytworzona niejednorodność generuje falę poruszającą się z maksymalną prędkością możliwą w tym układzie (prędkość przenoszenia informacji \rightarrow prędkość dźwięku). Oczywiście jest to dalekie od eksperymentu fizycznego, ponieważ zaniedbywane jest tutaj charakter adiabatyczny towarzyszący wytwarzaniu dźwięku¹, to jednak pozwala to analizować rozchodzenie się informacji w badanych układach oraz weryfikację symulacji – w naszym modelu ta prędkość powinna wynosić $\frac{1}{\sqrt{3}}$.

Obliczenia dokonywano na kwadratowej siatce o wymiarach 63×63 , z ustawioną lepkością $\nu = 0.001$. Warunki początkowe i brzegowe ustawiono na następujące:

¹<https://en.wikipedia.org/wiki/Sound>

```

1  def boundary_conditions(self, hx, hy):
2      wall_map = ( (hy == self.gy-1) | (hx == self.gx-1)\
3                  | (hx==0) | (hy==0) )
4      self.set_node(wall_map, NTFullBBWall)
5
6  def initial_conditions(self, sim, hx, hy):
7      nx,ny = self.gx,self.gy
8      sim.rho[:] = 1.0
9      sim.rho[32,1] = 1.5

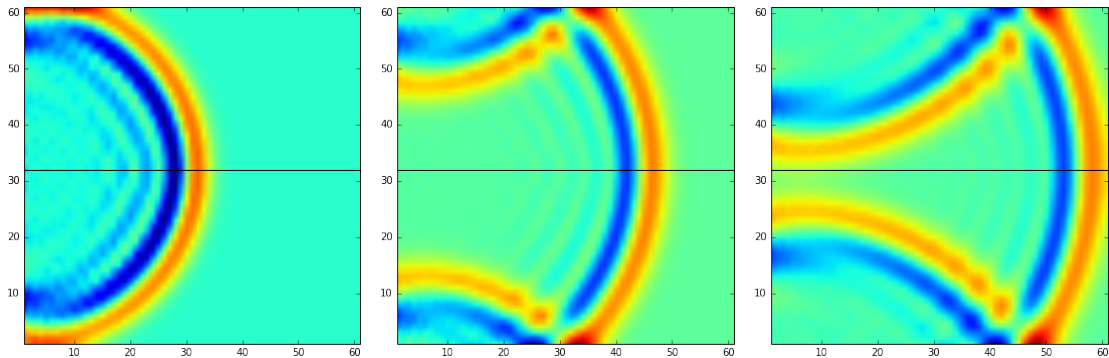
```

Obserwowano również analizę przemieszczającego się zaburzenia z układem ze szczeliną i dwoma szczelinami, które zostały dodane wykorzystując do tego spójniki logiczne:

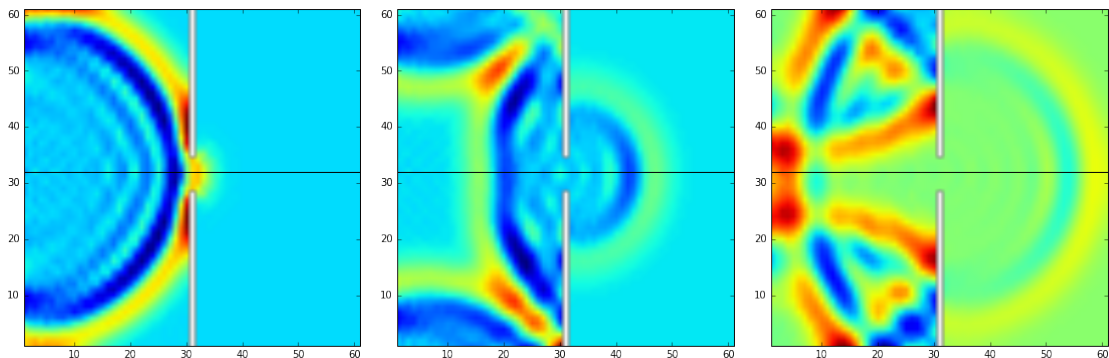
```

wall_map |= (hx == self.gx/2) & ((hy < 0.45*self.gy) | (hy > 0.55*self.gy)))
wall_map |= ((hx == self.gx/2) & ((hy < 0.3*self.gy) |
((hy > 0.4*self.gy) & (hy < 0.6*self.gy))|(hy > 0.7*self.gy))))

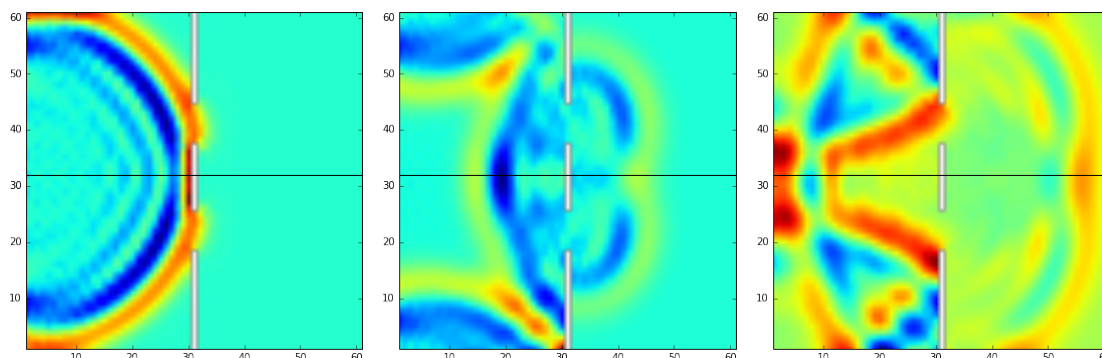
```



Ewolucja propagacji zaburzenia dla układu bez szczelin, odpowiednio 55,80,100 krok symulacji.



Ewolucja propagacji zaburzenia dla układu z jedną szczeliną, odpowiednio 55,80,100 krok symulacji.



Ewolucja propagacji zaburzenia dla układu z dwiema szczelinami, odpowiednio 55,80,100 krok symulacji.

2.3 Niestabilność Helmholtza

Niestabilność Helmholtza pojawia się kiedy mamy do czynienia z układem gdzie występuje granica z różnicą prędkości w płynie (czy też ogólniej w płynach – może to np. być znana sytuacja: wiatr wiejący nad taflą wody, czy „kłębienie” się chmur). W tej części ćwiczenia badano zjawisko niestabilności Helmholtza w zakresie czynników geometrycznych lub niejednorodności warunków początkowych.



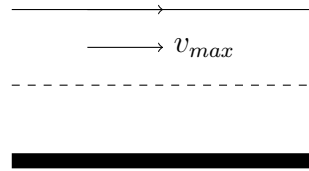
Rysunek 2: Zjawisko niestabilności Helmholtza obserwowane w chmurach
[źródło: pl.wikipedia.org]

Układ 1

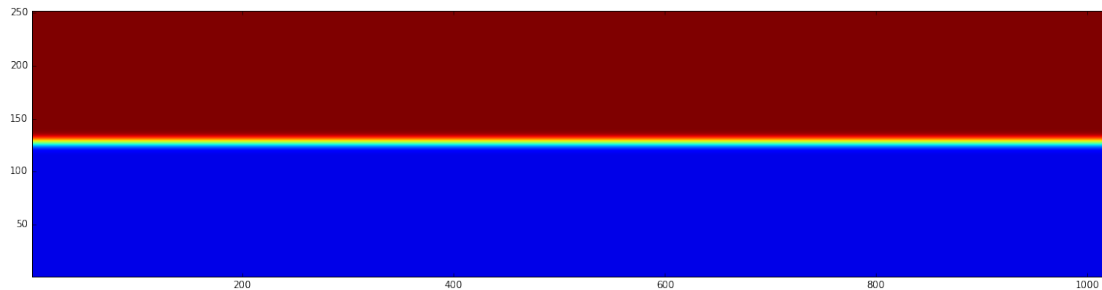
Każda badana sytuacja była pewną modyfikacją opisanego tutaj układu. Warunki brzegowe ustalono następująco:

- dolną krawędź ustawiono na sztywno jako ścianę;
- dla górnej krawędzi węzły ustawiono na stałe z prędkością w kierunku x :
 $\vec{v} = (v_{max}, 0)$.

Warunki początkowe ustalono nadając początkową prędkość dla wszystkich węzłów znajdujących się powyżej połowy obszaru symulacji.



Obliczenia dokonywano na prostokątnej siatce o wymiarach 1022×254 , z ustaloną lepkością $\nu = 0.001$. Dla tak symetrycznego układu po 10000 krokach symulacji nic szczególnego się nie dzieje. W wyniku obserwujemy jedynie powolną dyfuzję prędkości:



Rysunek 3: Wyniki symulacji dla symetrycznego układu po 10000 krokach symulacji – pole prędkości składowa x : \vec{v}_x . Skala wielkości: niebieski: najmniejsza, czerwony: największa wartość (wartości z przedziału $[-0.01, 0.1]$).

Poniżej zamieszczono kod funkcji `def boundary_conditions(self, hx, hy):` oraz `def initial_conditions(self, sim, hx, hy):`

```

1  def boundary_conditions(self , hx, hy):
2
3      wall_mapv1 = ( (hy == self.gy-1) )
4      wall_mapv0 = ( (hy == 0) )
5
6      self.set_node(wall_mapv1 , NTEquilibriumVelocity((self.max_v,
7  0.0)) )
8      self.set_node(wall_mapv0 , NTFullBBWall)
9
10 def initial_conditions(self , sim , hx, hy):
11
12     nx,ny = self.gx,self.gy
13     sim.rho[:] = 1.0
14     border = (hy>ny/2)
15
16     sim.vx[border] = self.max_v

```

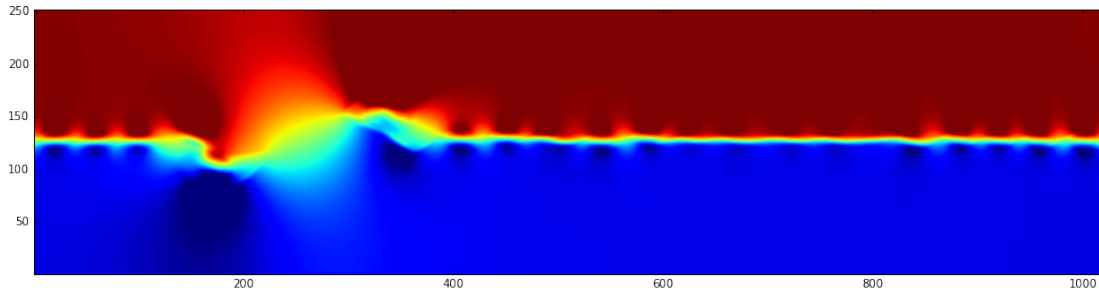
Układ 2

Zbadajmy co się dzieje z układem, jeśli początkowa prędkość nie będzie tak jednorodna. Ustalmy w warunkach początkowych niezerową prędkość w kierunku y dla jednego węzła w punkcie $(2, n_y/2-1)$ (gdzie n_y to są wymiary symulacji w kierunku y) na wartość $v_y = -0.01$ (oczywiście znaki jakie podajemy na wartościach prędkości mają jedynie charakter umowny i informują nas o zwrocie kierunku wektora prędkości).

```

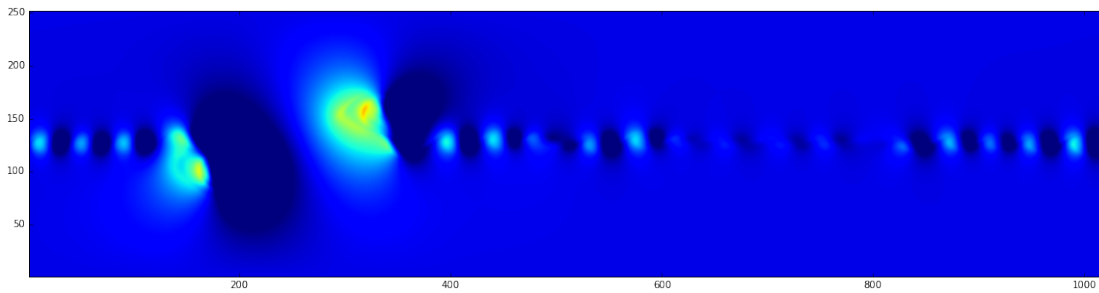
1  def initial_conditions(self , sim , hx, hy):
2      nx,ny = self.gx,self.gy
3      sim.rho[:] = 1.0
4      border = (hy>ny/2)
5      sim.vx[border] = self.max_v
6      sim.vy[(hx==2)&(hy==ny/2-1)] = -0.01

```



Rysunek 4: Wyniki symulacji dla układu z jednym węzłem ustawionym inaczej niż w standardowej wersji układu po 5000 krokach symulacji – pole prędkości składowa x : \vec{v}_x . Skala wielkości: niebieski: najmniejsza, czerwony: największa wartość (wartości z przedziału $[-0.01, 0.1]$)

W odróżnieniu od przypadku z układu 1 tutaj można również sensownie wykreślić pole prędkości dla kierunku y : \vec{v}_y :

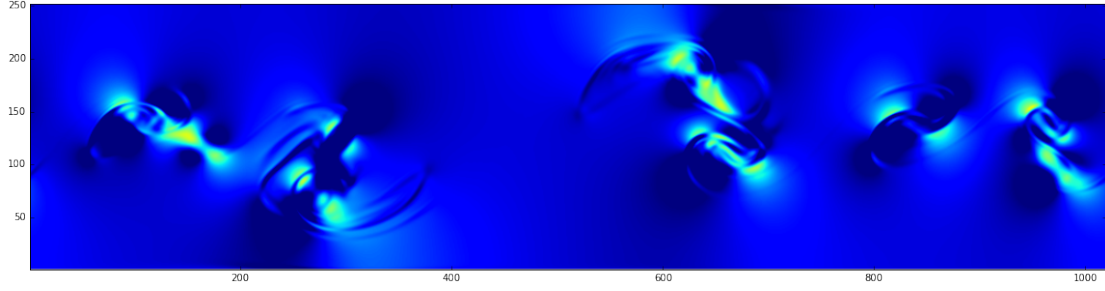


Rysunek 5: Wyniki symulacji dla układu z jednym węzłem ustawionym inaczej niż w standardowej wersji układu po 5000 krokach symulacji – pole prędkości składowa y : \vec{v}_y . Skala wielkości: niebieski: najmniejsza, czerwony: największa wartość (wartości z przedziału $[-0.01, 0.1]$)

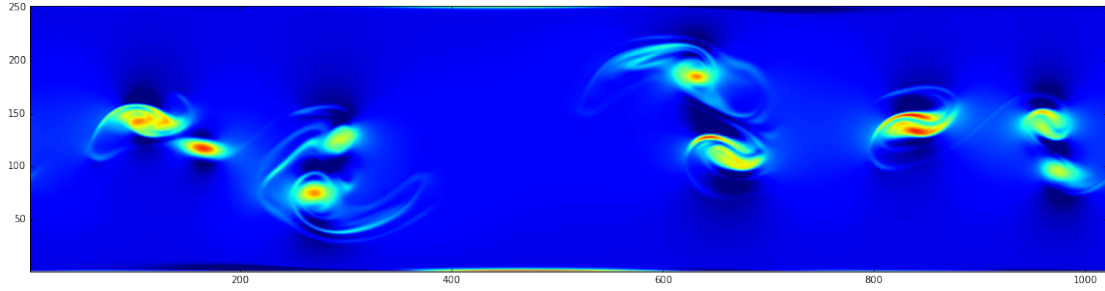
Oprócz wyznaczanych pól prędkości \vec{v}_x , \vec{v}_y wykreślono inne pola. Wyznaczano gradient (z pakietu `numpy`):

```
Dxvx,Dyvx = np.gradient(vx)
```

```
Dxvy,Dyvy = np.gradient(vy)
```



Rysunek 6: Wyniki symulacji dla układu z jednym węzłem ustawionym inaczej niż w standardowej wersji układu po 9000 krokach symulacji – gradient w kierunku y pola prędkości składowej x pomniejszone o gradient w kierunku x pola prędkości składowej y : $D_y v_x - D_x v_y$. Skala wielkości: niebieski: najmniejsza, czerwony: największa wartość (wartości z przedziału $[-0.001, 0.01]$).

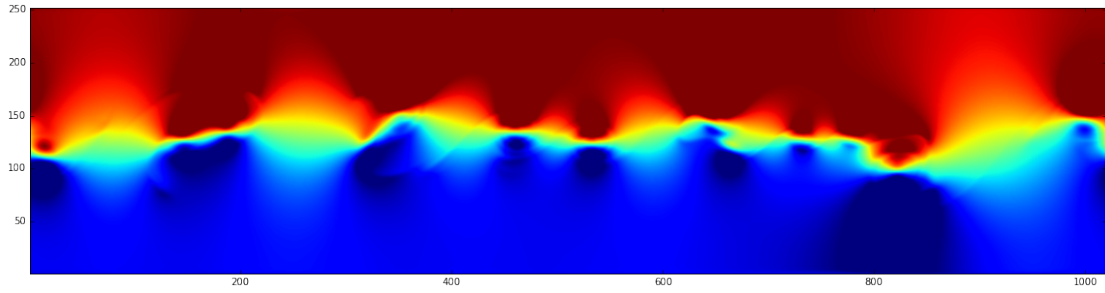


Rysunek 7: Wyniki symulacji dla układu z jednym węzłem ustawionym inaczej niż w standardowej wersji układu po 9000 krokach symulacji – gradient w kierunku x pola prędkości składowa x : $D_x v_x$. Skala wielkości: niebieski: najmniejsza, czerwony: największa wartość (wartości z przedziału $[-0.001, 0.01]$).

Układ 3

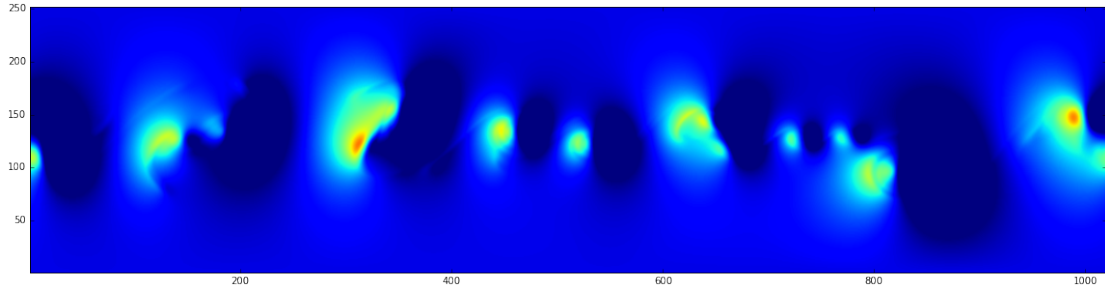
W układzie 3 niejednorodność wprowadzono poprzez narzucenie niesymetrycznych warunków początkowych. Granicę płynu w połowie wysokości oddzielającą początkową prędkość v_{max} od prędkości zerowej, zmodulowano funkcją cosinus:

$$\text{border} = (\text{hy} > 2 * \text{np.cos}(\text{hx} / \text{float}(\text{nx}) * 2 * \text{np.pi}) + \text{ny} / 2)$$

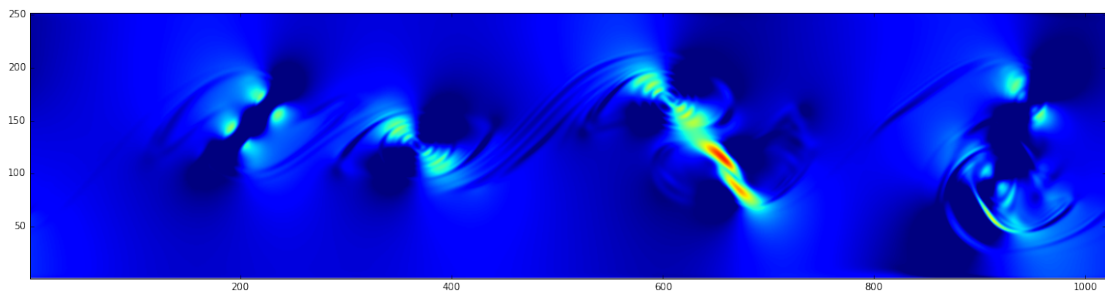


Rysunek 8: Wyniki symulacji dla układu ze zmienioną geometrią początkową po 5000 krokach symulacji – pole prędkości składowa x : \vec{v}_x . Skala wielkości: niebieski: najmniejsza, czerwony: największa wartość (wartości z przedziału $[-0.01, 0.1]$)

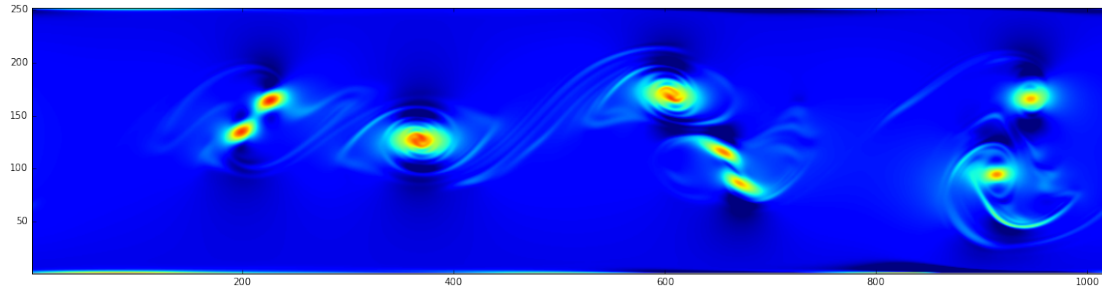
Pojawiły się zdecydowanie większe niestabilności w odróżnieniu od układu 2 po takim czasie symulacji.



Rysunek 9: Wyniki symulacji dla układu ze zmienioną geometrią początkową po 5000 krokach symulacji – pole prędkości składowa y : \vec{v}_y . Skala wielkości: niebieski: najmniejsza, czerwony: największa wartość (wartości z przedziału $[-0.01, 0.1]$)



Rysunek 10: Wyniki symulacji dla układu ze zmienioną geometrią początkową po 9000 krokach symulacji – gradient w kierunku x pola prędkości składowa x : $D_x v_x$. Skala wielkości: niebieski: najmniejsza, czerwony: największa wartość (wartości z przedziału $[-0.001, 0.01]$).



Rysunek 11: Wyniki symulacji dla układu ze zmienioną geometrią początkową po 9000 krokach symulacji – gradient w kierunku x pola prędkości składowa x : $D_x v_x$. Skala wielkości: niebieski: najmniejsza, czerwony: największa wartość (wartości z przedziału $[-0.001, 0.01]$).

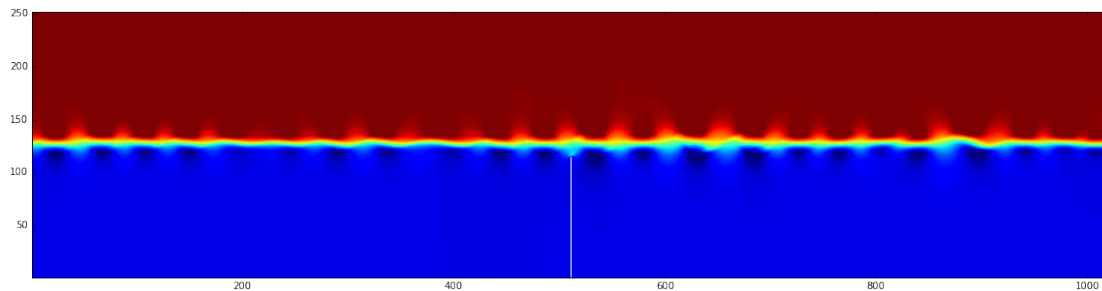
Układ 4

W ostatnim mierzonym układzie dodano ściankę w połowie układu w kierunku x na wysokość 45% wysokości układu:

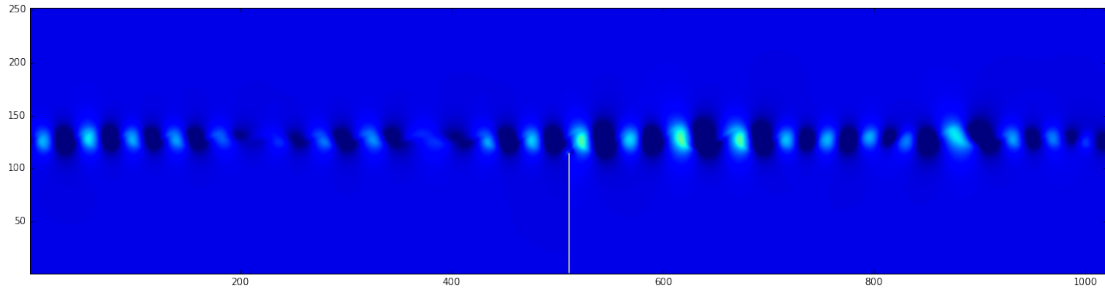
```

wall_map_obstacle = ( (hx == self.gx/2) & (hy < 0.45*self.gy) & (hy > 1))
self.set_node(wall_map_obstacle,NTFullBBWall)

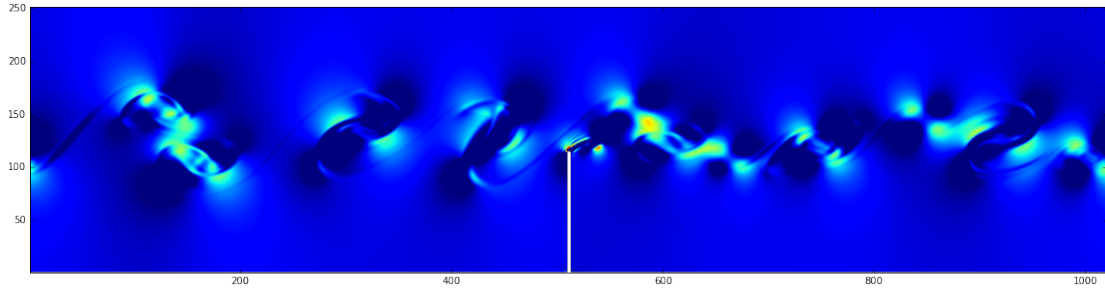
```



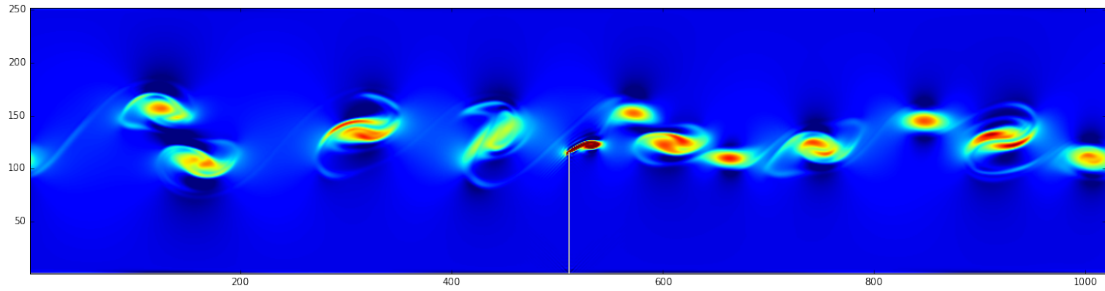
Rysunek 12: Wyniki symulacji dla układu z barierą po środku po 5000 krokach symulacji – pole prędkości składowa x : \vec{v}_x . Skala wielkości: niebieski: najmniejsza, czerwony: największa wartość (wartości z przedziału $[-0.01, 0.1]$)



Rysunek 13: Wyniki symulacji dla układu z barierą po środku po 5000 krokach symulacji – pole prędkości składowa y : \vec{v}_y . Skala wielkości: niebieski: najmniejsza, czerwony: największa wartość (wartości z przedziału $[-0.01, 0.1]$).



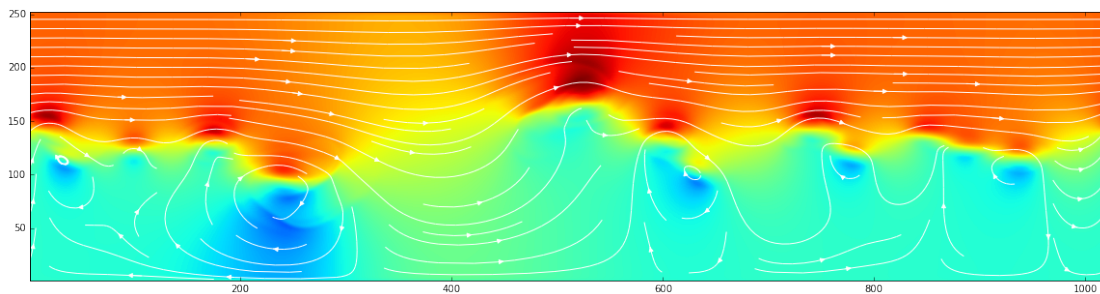
Rysunek 14: Wyniki symulacji dla układu z barierą po środku po 9000 krokach symulacji – gradient w kierunku x pola prędkości składowa x : $D_x v_x$. Skala wielkości: niebieski: najmniejsza, czerwony: największa wartość (wartości z przedziału $[-0.001, 0.01]$).



Rysunek 15: Wyniki symulacji dla układu ze zmienioną geometrią początkową po 9000 krokach symulacji – gradient w kierunku x pola prędkości składowa x : $D_x v_x$. Skala wielkości: niebieski: najmniejsza, czerwony: największa wartość (wartości z przedziału $[-0.001, 0.01]$).

Wszystkie wcześniejsze wykresy z tej części były rysowane za pomocą `matplotlib`, korzystając z metody `.imshow`. Metoda ta praktycznie kopiuje zawartości macierzy do bitmapy (ewentualnie dodając jakieś dodatkowe opcje wygładzenia np. wykorzystując jądro gaussa). W czasie analizy otrzymanych wyników warto czasami skorzystać z bardziej wyrafinowanych metod takich jak `.contourf` czy `.streamplot`.

Pierwsza metoda, `contourf`, wykreśla i wypełnia kontury dla wskazanych danych. Druga metoda `streamplot` wykreśla linie prądu – zaznacza na wykresie strzałki styczne do linii pola.



Rysunek 16: Wyniki symulacji dla układu z jednym węzłem ustawionym inaczej niż w standardowej wersji układu po 7500 krokach symulacji – pole prędkości składowa x : \vec{v}_x . Skala wielkości: niebieski: najmniejsza, czerwony: największa wartość (wartości z przedziału $[-0.1, 0.15]$). Skorzystano tutaj z metody `contourf` z nałożonymi `streamplot`.

3 Wnioski

Wykonane ćwiczenia pozwoliły zaznajomić się z podstawowymi problemami w CFD oraz przyswoić wiedzę z zakresu obsługi biblioteki `sailfish`. Biblioteka `sailfish` jest idealnym narzędziem o zastosowaniach edukacyjnych, gdzie użytkownik dzięki prostocie obsługi jest zainteresowany tematem i chętnie bada wymyślone przez siebie zagadnienia. Dzięki wielkiej integracji z obliczeniami GPGPU oraz możliwą „klasteryzacją” liczonych zadań biblioteka znajduje się również w profesjonalnych zastosowaniach.